

GM 66006

LEVES DE POLARISATION PROVOQUEE ET DE MAGNETOMETRIE, PROPRIETE POSTE LEMOYNE EXTENSION (PLEX), GRILLE DAVID

Documents complémentaires

Additional Files



Licence

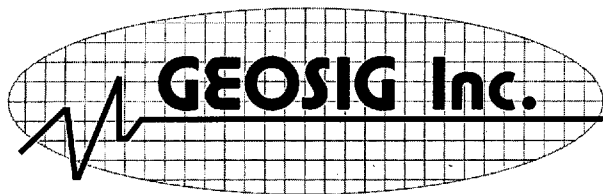


Licence

Cette première page a été ajoutée au document et ne fait pas partie du rapport tel que soumis par les auteurs.

Énergie et Ressources
naturelles

Québec 

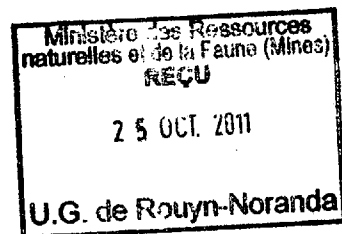


EXPERTS-CONSEILS EN GÉOPHYSIQUE
CONSULTING EXPERTS IN GEOPHYSICS

MINES VIRGINIA INC.

Levés de Polarisation Provoquée et de Magnétométrie
Propriété Poste Lemoyne Extension (PLEX), Grille David
Municipalité de Baie-James, Québec
SNRC 33G/06, 33G/11 et 33G/12

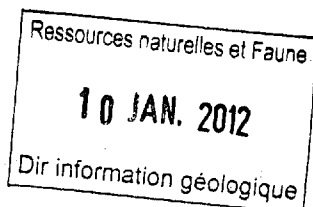
Rapport



GM66006

Projet 155.26

4 juin 2011




Simon Tshimbalanga, ing.

OIQ
#37579

#1151103

TABLE DES MATIÈRES

	PAGE
1. INTRODUCTION.....	1
2. PROPRIÉTÉ, LOCALISATION ET ACCÈS.....	1
3. TRAVAUX EFFECTUÉS ET PERSONNEL.....	2
4. LEVÉ DE MAGNÉTOMÉTRIE.....	2
4.1. Méthodologie et instrumentation.....	2
4.2. Présentation des résultats.....	3
4.3. Description des résultats.....	3
5. LEVÉ DE POLARISATION PROVOQUÉE	4
5.1. But des levés de PP	4
5.2. Probabilités des anomalies	4
5.3. Méthodologie et instrumentation.....	5
5.4. Présentation des résultats du levé de PP.....	5
5.5. Description des résultats du levé de PP.....	6
5.5.1. Résistivité.....	6
5.5.2. Chargeabilité	7
5.5.3. Description des résultats.....	7
6. CONCLUSION	7

Annexe :

- TABLEAU DE DESCRIPTION DES ANOMALIES DE POLARISATION PROVOQUÉE
- LISTE DES CARTES
- CARTE DE LOCALISATION
- CARTE DE TITRES MINIERS
- PSEUDO-SECTIONS
- CARTES

1. INTRODUCTION

La compagnie **Services Techniques Géonordic** a, par l'entremise de son président Monsieur Jean-François Ouellette, mandaté **Géosig Inc.** pour la réalisation de levés de polarisation provoquée (PP) et de magnétométrie (Mag) sur les grilles David et Ouest de la propriété Poste Lemoyne Extension (PLEX), située plus ou moins à la hauteur du km 155 sur la route Transtaïga dans la municipalité de la Baie James. La campagne de géophysique a été réalisée du 12 janvier au 19 février 2011. Le levé de polarisation provoquée a couvert au total, 38,65 kilomètres tandis que celui de magnétométrie en a couvert 54,80.

2. PROPRIÉTÉ, LOCALISATION ET ACCÈS

La propriété Poste Lemoyne Extension se situe à environ 170 kilomètres à vol d'oiseau, à l'est-sud-est de Radisson. Elle est facilement accessible par la route Transtaïga que l'on parcourt sur 163,3 kilomètres vers l'Est. De là, on emprunte un chemin de tracteur qui se dirige vers le nord et on complète le trajet soit en motoneige en hiver ou en VTT.

Sur les cartes topographiques, la propriété apparaît dans les feuillets 33G/06, 33 G/11 et 33G/12 du S.N.R.C. La grande grille David est comprise dans le quadrilatère défini par les coordonnées UTM (NAD 27 Zone 18) suivantes : 467200E, 5930797N et 472900E, 5927100N. La petite grille à l'ouest est quand-à-elle, délimitée par les coordonnées suivantes : 464600E, 5929550N et 465600E, 5928150N.

Les travaux de géophysique ont couvert les titres miniers désignés suivant :

Grille David

2185818	2186196	2186208	2186230
2186175	2186197	2186209	2186231
2186176	2186198	2186213	2225580
2186178	2186202	2186214	2225581
2186191	2186203	2186215	2225582
2186192	2186204	2186216	2241020
2186193	2186205	2186217	2245239
2186194	2186206	2186228	2245265
2186195	2186207	2186229	

Grille Ouest

2186145	2186146	2245331	2245332
---------	---------	---------	---------

3. TRAVAUX EFFECTUÉS ET PERSONNEL

Les travaux de géophysique ont couvert deux grilles. La grille David est orientée est-ouest. Elle s'étend sur 5,6 km de longueur, entre les lignes 14+00W et 42+00E. Elle est constituée de lignes de longueur variable, allant de 900 mètres à 2300 mètres de longueur, et reliées entre elles par une ligne de base 0+00 et une ligne de rattachement, TL-18+00N, qui relie les lignes 20+00E à 42+00E. La grille ouest est orientée nord-est sud-ouest et elle est constituée de quatre lignes espacées aux 200 mètres, allant de 0+00 à 6+00E. Les lignes s'étendent sur un kilomètre de longueur, à l'exception de la ligne 0+00 qui est 200 mètres plus longue. Les lignes sont reliées entre elles par une ligne de base 0+00.

Comme mentionné en introduction, le levé magnétique a couvert 54,8 kilomètres incluant la ligne de base et celle de rattachement tandis que celui de PP a couvert 38,65 kilomètres uniquement sur les lignes. Les lignes sont espacées aux 200 mètres, sauf pour la ligne 7+00E.

L'équipe du levé de polarisation provoquée était composée de:

- François Simard, technicien en charge du projet
- Martin Waltzing, technicien
- Charles East, technicien
- Samuel Waltzing, manœuvre
- Michel Sliger, technicien
- Jean-Pierre Asselin, manœuvre

Le levé de magnétométrie a été réalisé par Vidal Néron, technicien.

Le rapport a été rédigé par Simon Tshimbalanga qui a aussi préparé les cartes. La géomatique a été réalisée par Donald Saindon.

4. LEVÉ DE MAGNÉTOMÉTRIE

4.1. Méthodologie et instrumentation

Les lectures du champ magnétique total ont été prises aux 12,5 mètres. Les instruments suivants ont servi à réaliser ce levé :

GSM-19WV, Gem Systems, Richmond Hill, Ont., Mag de terrain: n/s 66565

GSM-19WV, Gem Systems, Richmond Hill, Ont., station de base: n/s 66573

Un magnétomètre, installé sur la propriété, a servi de station de base pour les corrections de la variation diurne du champ magnétique. La fréquence d'enregistrement des lectures de la station de base était fixée aux 30 secondes.

Les données ont été traitées et mises en plan en utilisant les logiciels de traitement appropriés, dont Geosoft.

4.2. Présentation des résultats

Les résultats sont présentés sous forme de carte de profils à l'échelle 1 : 5000. Les cartes n° 8942 et 8948 (grille ouest) présentent les variations du champ magnétique total à une échelle de 5000 nanoTeslas (nT) par centimètre. Les valeurs du champ magnétique total inscrites sur ces cartes sont les valeurs corrigées pour les variations diurnes. Les résultats sont également présentés en couleur, sous forme de cartes de contours du champ magnétique n° 8943 et 8949 (grille ouest).

4.3. Description des résultats

La grille est caractérisée par des valeurs du champ magnétique moyen avoisinant 56 500 nT. Le champ magnétique total varie entre une valeur minimale de l'ordre de 54 100 nT à des valeurs anormales maximales supérieures à 100 000 nT.

Les lignes de contours soulignent une orientation des couches de la géologie essentiellement est-nord-est ouest-sud-ouest.

On observe principalement un long horizon à très forte susceptibilité magnétique d'environ 200 mètres de largeur qui traverse la partie centre-sud de la grille David, de la ligne 10+00W à la ligne 32+00W. Cet horizon magnétique qui atteint des valeurs supérieures à 90 000 nT montre un faible pendage vers le sud. Quelques anomalies de PP semblent y être reliées. Dans la partie nord-est, on observe un horizon magnétique de plus faible intensité situé aux environs de la station 9+00N, entre les lignes 24+00E et 38+00E. Elle atteint une intensité d'environ 1200 nT.

Sur la petite grille à l'ouest, un horizon magnétique atteignant une intensité de 500nT occupe le coin nord-est des lignes 0+00, 2+00E et 4+00E. Il est à noter que l'échelle de couleur de la carte polychrome n'est pas la même pour les deux grilles.

5. LEVÉ DE POLARISATION PROVOQUÉE

5.1. But des levés de PP

Le levé de résistivité peut occasionnellement indiquer directement les amas minéralisés de sulfures ou de graphite. Cependant, au Canada, la carte de résistivité indique surtout la conductivité et l'épaisseur du mort-terrain.

Les mesures de chargeabilité permettent de déceler la présence de sulfures ou de graphite, puisque le mort-terrain ne donne presque jamais d'anomalies en chargeabilité. Dans les régions où le mort-terrain conducteur est variable, les "anomalies" de chargeabilité, même au-dessus de corps massifs de sulfures, sont atténuées là où les conductivités de surface sont fortes. Les lectures de chargeabilité peuvent être plus basses (aussi basses que 3 msec) au-dessus de lentilles de sulfures conductrices recouvertes par de la glaise, que sur les affleurements volcaniques non minéralisés mais de haute résistivité (de 10 à 20 msec).

Pour interpréter de telles variations lors d'un levé de polarisation provoquée, on doit étudier simultanément la chargeabilité et la résistivité.

Les cartes de chargeabilité normalisée reflètent donc mieux les concentrations de sulfures et autres matériaux polarisables.

5.2. Probabilités des anomalies

Les probabilités que la cause d'une anomalie existe dans le socle rocheux sont estimées sur une échelle allant de 0 à 1:

- une probabilité de 0,9 signifie qu'une anomalie est actuellement présente dans le roc et qu'elle sera confirmée par des travaux de terrain plus de neuf fois sur dix. Si une telle anomalie n'est pas expliquée, c'est qu'il y a probablement eu une erreur de chaînage entre le levé et l'implantation du forage, ou que le forage a traversé une discontinuité dans l'horizon polarisable;
- une probabilité de 0,5 signifie que la signature de l'anomalie est douteuse. Dans un tel cas, le rapport signal-à-bruit est généralement de moins de 3, soit parce que le mort-terrain est profond ou qu'il y a une interférence causée par une autre anomalie voisine, plus forte. En conséquence, la probabilité que l'anomalie corresponde à une zone polarisable est alors diminuée au point où l'évaluation sur le terrain n'est positive qu'une fois sur deux ;
- une probabilité de 0,2 signifie que l'évaluation sur le terrain ne confirmera la présence d'une zone polarisable qu'une fois sur cinq.

5.3. Méthodologie et instrumentation

Le levé de PP a été effectué dans le domaine du temps (2 secondes "ON", 2 secondes "OFF"), en utilisant une configuration **dipôle-dipôle** aux séparations $n = 1$ à 6 avec un espacement de $a = 25$ mètres. Les mesures de chargeabilité (M) ont été évaluées sur 20 fenêtres mesurées pendant les temps OFF. Chaque fenêtre a une largeur de 80 millisecondes (TM_i). La première fenêtre débute avec un délai de 240 ms après la coupure de courant. La chargeabilité partielle de chacune des fenêtres (M_i) est calculée par la formule suivante :

$$M_i = \int V dt / TM_i \cdot V_p$$

La chargeabilité finale (M), normalisée à 1 volt, est calculée selon la formule suivante :

$$M = (\sum(M_i * TM_i) / \sum(TM_i)) * 1000/V_p$$

où i est le numéro de chaque fenêtre ($i = 1$ to 20).

Le voltage (V_p), utilisé pour le calcul de la résistivité, est lu après un délai de 1260 millisecondes des temps ON du cycle.

L'équipement comprenait un transmetteur portatif à moteur générateur TX-II 1800W fabriqué par Instrumentation GDD, n/s 217, muni d'un ampèremètre numérique de précision Beckmann. On a aussi utilisé un receveur GRx8-32 d'Instrumentation GDD, n/s 1092. Ce receveur mesure la chargeabilité sur vingt fenêtres avec une précision de 0,1 msec.

Des tiges d'acier à ressort de 1,5 mètre de longueur ont été utilisées comme électrodes de courant (C1 et C2) et des tiges en acier inoxydable comme électrodes de potentiel (P1 et P2).

5.4. Présentation des résultats du levé de PP

Les résultats du levé sont présentés sur deux cartes à l'échelle 1 : 5 000. Les cartes des profils et valeurs n° 8944 et 8950 (grille ouest) représentent les trois courbes suivantes :

chargeabilité (M) (en vert) :	20 msec/cm 0 msec centré sur la ligne
résistivité (R) (en rouge) :	
échelle logarithmique :	10 à 100 000 \square -m, 1 cm/décade 1000 \square -m centré sur la ligne
chargeabilité normalisée (CN) (en bleu) :	10 mhosec/cm 0 mhosec centré sur la ligne

Les résultats sont également présentés sous forme de pseudo-sections pour chaque ligne, à une échelle de 1 : 2 500.

Les valeurs de résistivité apparente (R) et de chargeabilité normalisée (CN), pour la configuration dipôle-dipôle, ont été obtenues à partir des formules suivantes :

$$R = \pi * a * n(n+1) * (n+2) * V_p/I$$

$$CN = 9,58 * M/\sqrt{R}$$

où

CN	= chargeabilité normalisée en mhosec
R	= résistivité apparente en Ω -mètres
M	= chargeabilité en msec
V _p	= voltage entre les électrodes de potentiel (mV)
I	= courant transmis en mA
a	= espacement entre les électrodes
n	= nombre de séparations
9,58	= facteur de normalisation

La chargeabilité normalisée est mesurée en "mhosec", un terme que nous utilisons pour ce facteur. Elle est calculée en multipliant la chargeabilité (millisecondes) par la conductivité (1/R), mesurée en mhos, d'où le terme de mhosec que nous utilisons dans ce rapport.

Les contours polychrome de la résistivité sont présentés sur les cartes n° 8945 et 8951 (grille ouest), ceux de la chargeabilité sur les cartes n° 8946 et 8952 (grille ouest) et ceux de la chargeabilité normalisée sur les cartes n° 8947 et 8953 (grille ouest).

5.5. Description des résultats du levé de PP

5.5.1. Résistivité

La carte de la résistivité apparente montre que cette dernière varie de moins de 10 Ω -m à plus de 100 000 Ω -m à la première séparation. La résistivité est, en général, dépendante de l'épaisseur et de la conductivité du mort-terrain ainsi que de la composition et de la proximité des zones affleurantes.

Les zones de basse résistivité sont, en général, représentatives de marécages ou de vallées constituées de morts-terrains profonds. Les zones de haute résistivité sont, quant à elles, généralement représentatives du socle rocheux affleurant ou sub-affleurant.

La carte contour couleur de la résistivité apparente de cette propriété montre qu'en général, les secteurs sur la terre ferme affichent une résistivité supérieure à 10 000 Ω -m et ceux sur les lacs une résistivité inférieure à 5 000 Ω -m.

5.5.2. Chargeabilité

La chargeabilité moyenne varie de 1,5 msec à 5 msec dans la région couverte par le levé actuel. Les faibles chargeabilité correspondent généralement aux secteurs sur les lacs. Les anomalies de chargeabilité se dégagent très clairement de cette moyenne.

La valeur de fond de la chargeabilité normalisée est de 0,5 mhosec et, dans cette région à résistivité variable, son utilité est clairement mise en évidence.

5.5.3. Description des résultats

Le levé de PP a permis de localiser 36 axes d'anomalies qui sont décrits et définis comme cibles potentielles. Plusieurs autres faibles hausses de chargeabilité ont été également tracées sur les cartes.

La carte de contour couleur de la chargeabilité montre une tendance générale des axes d'anomalies PP similaire à celle observée sur la carte couleur des contours magnétiques soit, une orientation essentiellement est-nord-est ouest-sud-ouest. Le présent levé a permis de prolonger, généralement de façon très substantielle, les huit anomalies détectées lors du précédent levé qui ne couvrait qu'une très petite portion de la propriété, à l'exception de PP-4. Près de la moitié des anomalies PP sur cette propriété définissent de longs axes de plus de 500 mètres de longueur et, plusieurs anomalies situées à l'ouest ont de fortes probabilités de se prolonger hors des limites de la grille couverte.

Des 36 anomalies PP décrites, 15 sont de première priorité et 13 de seconde. Il y a donc trois quart des anomalies qui sont classées de premier ou second ordre. Sur la base des seules données géophysiques, on ne peut que recommander une investigation par décapage ou forage sur les anomalies classées de première ou seconde priorité. Considérant que les fortes anomalies sont parfois causées par des sulfures stériles et que les zones aurifères correspondent souvent à de faibles anomalies, il vaudrait mieux que les priorités soient révisées et déterminées en considérant les résultats de la prospection et la géologie.

Les anomalies PP sont décrites individuellement dans le tableau situé à la fin de ce rapport.

6. CONCLUSION

Les objectifs visés ont été atteints, car les levés géophysiques ont permis la détection de plusieurs axes d'anomalies PP et de différents horizons magnétiques. Le levé de polarisation provoquée a détecté trente-six (36) cibles potentielles (P-1 à P-36). Outre les axes PP décrits, plusieurs faibles hausses de chargeabilité ont été tracées sur les cartes.

Les résultats du levé magnétique montrent une assez forte activité du champ total qui permet entre autre d'identifier un très fort horizon magnétique qui occupe la partie centre-sud de la grille. Ce levé magnétique aidera fort probablement à mieux comprendre la géologie locale en faisant une meilleure discrimination des unités géologiques ainsi qu'une meilleure interprétation structurale.

Description des anomalies de Polarisation Provoquée, Propriété Plex-David

N°	De (ligne) (station)	A (ligne) (station)	Lon- gueur (m)	Cible (ligne) (station)	CH (msec) / moy.	Rés. (E-m) / moy.	CN (mhosec) / moy.	Proba bilité	Prio rité	Remarques
										<i>Ch = chargeabilité</i> <i>Rs = résistivité</i>
PP-1	0+00E 3+12N	8+00E 4+12N	800	2+00E 2+75N	36 / 5	8,5k / > 15k ½ ↓	3,7 / 0,5	0,9	1	Très forte hausse du CH, avec une baisse bien évidente de la résistivité. Anomalie Asymétrique et d'intensité variable. Possibilité d'extension à l'est.
PP-2	2+00W 1+12N	10+00E 2+37N	1200	2+00E 1+37,5N	32 / 5	5,7k / > 14k ½ ↓	4 / 0,5	0,9	1	Très forte hausse de CH associée à une baisse bien évidente de Rs sur la ligne cible. Longue anomalie d'intensité variable. Possibilité d'extension aux extrémités.
PP-3	10+00W 2+75S	26+00E 3+37N	3600	6+00E 0+50N	35 / 5	936/complexe	11 / 0,5	0,9	1	Très forte hausse de CH associée à une baisse bien évidente de Rs sur la ligne cible. Longue anomalie d'intensité variable. Possibilité d'extension aux extrémités.
PP-4	2+00E 1+75S	2+00E 1+75S	-	2+00E 1+75S	22 / 3,5	5k / > 10k ½ ↓	2,9 / 0,3	0,9	1	Anomalie causée par une forte hausse de CH associée à une baisse bien marquée de la résistivité. Possibilité d'extension vers l'est.
PP-5	0+00E 3+00S	22+00E 1+62N	2200	0+00E 3+00S	19 / 5,0	21k / uniforme	1,2 / 0,3	0,7	2	Assez forte hausse de CH dans une Rs élevée. Très longue anomalie d'intensité généralement faible. Localisée au contact de la forte zone magnétique.
PP-6	14+00W 10+50S	12+00E 2+75S	2600	10+00E 3+25S	39 / 5,0	698 / > 5k ↓ 1/7	14 / 0,5	0,9	1	Très forte hausse de CH associée à une très forte baisse de Rs. Localisée au contact sud du fort et long horizon Mag. Très longue et forte anomalie avec possibilité d'extension aux deux extrémités.
PP-7	2+00E 3+87S	12+00E 1+12S	1000	12+00E 1+12S	52 / 1,5	478 / > 5k ↓ 1/7	23 / 0,5	0,9	1	Très forte hausse de CH associée à une très forte baisse de Rs. Localisée dans le très fort et long horizon Mag. Matériaux fortement polarisable, très conducteurs et fortement magnétiques. Extension possible à l'est.
PP-8	0+00E 7+12S	12+00E 3+50S	1200	10+00E 4+12S	30 / 5	17k/ uniforme	2,2 / 0,5	0,6	2	Très forte hausse de chargeabilité dans un milieu à haute résistivité. Localisée au contact sud du fort et long horizon Mag. Bien définie sur 10 ^E et 12 ^E mais très faible ailleurs.
PP-9	6+00E 6+00S	12+00E 4+62S	600	10+00E 5+12S	23 / 5	13K / uniforme	1,9 / 0,5	0,6	2	Forte hausse de CH dans une Rs élevée. Extension possible à l'est.
PP-10	14+00W 11+50S	6+00E 6+87S	2000	6+00E 6+87S	9,5 / 3,5	3,9k / complexe	1,4 / 0,3	0,7	2	Bonne hausse bien définie de CH dans une résistivité complexe. Extension possible à l'est. Très long axe PP.

Description des anomalies de Polarisation Provoquée, Propriété Plex-David (suite)

N°	De (ligne) (station)	A (ligne) (station)	Lon- gueur (m)	Cible (ligne) (station)	CH (msec) / moy.	Rés. (E-m) / moy.	CN (mhosec) / moy.	Proba bilité	Prio- rité	Remarques
										<i>Ch = chargeabilité</i> <i>Rs = résistivité</i>
PP-11	10+00E 7+62S	10+00E 7+62S	-	10+00E 7+62S	15 / 3,5	5,8k / > 9k ↓	1,8 / 0,3	0,9	1	Bonne hausse de CH associée à une baisse de Rs. Anomalie isolée. Extension possible aux deux extrémités.
PP-12	14+00W 12+37S	10+00W 11+75S	400	10+00W 11+75S	31 / 10	2,1k / > 8k ↓	6,4 / 0,5	0,9	1	Bonne hausse de CH avec une baisse bien évidente de Rs. Intègre le signal de PP-10. Extension possible aux 2 extrémités.
PP-13	14+00W 13+12S	10+00W 12+62S	400	14+00W 13+12S	24 / 7	507 / complexe	10 / 0,5	0,9	2	bonne hausse de chargeabilité dans une Rs complexe. Intègre la réponse des anomalies avoisinantes. Extension possible aux deux extrémités.
PP-14	14+00W 13+87S	14+00W 13+87S	-	14+00W 13+87S	27 / 7	20k / uniforme	1,8 / 0,5	0,5	2	Bonne hausse de CH dans une Rs élevée. Intègre la réponse des anomalies avoisinantes. Extension possible à l'ouest.
PP-15	14+00W 14+75S	10+00W 13+87S	400	10+00W 13+87S	24 / 12	241 / > 16k ↓	15 / 0,5	0,9	1	Hausse modérée de CH associée à une très forte baisse de Rs. Intègre la réponse des anomalies avoisinantes. Possibilité d'extension aux deux extrémités.
PP-16	14+00W 15+50S	14+00W 15+50S	-	14+00W 15+50S	13 / 5	412 / > 4k ↓	6,0 / 0,5	0,9	1	Hausse modérée de CH associée à une très forte baisse de Rs. Intègre la réponse de PP-15. Possibilité d'extension aux deux extrémités.
PP-17	14+00W 0+50S	8+00W 0+87N	600	8+00W 0+87N	14 / 2,5	15k / complexe	1,1 / 0,5	0,7	2	Forte hausse de CH dans une Rs complexe. Faible association Mag sur L8E. Possibilité d'extension à l'ouest.
PP-18	14+00W 2+50S	6+00W 0+50S	800	6+00W 0+50S	9,5 / 5	12k / uniforme	0,8 / 0,3	0,4	3	Faible hausse de CH dans une Rs uniforme et élevée. Anomalie généralement faible et mal définie. Sur le prolongement de PP-2. Possibilité d'extension à l'ouest.
PP-19	10+00W 2+37S	10+00W 2+37S	-	10+00W 2+37S	16 / 2,5	5,7k / complexe	2,1 / 0,5	0,6	2	Forte hausse de CH dans une RS complexe. Intègre fortement la réponse de PP-3.
PP-20	12+00W 4+25S	8+00W 3+25S	400	10+00W 4+12S	23 / 2,5	3,3k / complexe	3,7 / 0,5	0,8	1	Très forte hausse de CH avec une baisse de résistivité évidente surtout en surface. Anomalie bien définie sur L8W et L10W.

Description des anomalies de Polarisation Provoquée, Propriété Plex-David (suite)

N°	De (ligne) (station)	A (ligne) (station)	Lon- gueur (m)	Cible (ligne) (station)	CH (msec) / moy.	Rés. (E-m) / moy.	CN (mhosec) / moy.	Prob a bili té	Prio- rité	Remarques <i>Ch = chargeabilité</i> <i>Rs = résistivité</i>
PP-21	14+00W 5+75S	12+00W 5+25S	200	12+00W 5+25S	12 / 2,5	8,2k / uniforme	1,2 / 0,5	0,7	2	Bonne hausse de CH avec une très faible baisse de Rs en surface. Possibilité d'extension à l'ouest.
PP-22	14+00W 7+00S	12+00W 6+12S	200	12+00W 6+12S	15 / 3,5	590 / > 6k ↓	5,9 / 0,5	0,9	1	Forte hausse de CH associée à une bonne baisse de Rs. Intègre la réponse de PP-21. Parallèle à PP-21. Possibilité d'extension à l'ouest.
PP-23	10+00W 6+62S	6+00W 4+75S	400	6+00W 4+75S	24 / 2,5	319 / > 1,2k ↓	13 / 0,3	0,9	1	Très forte hausse de CH associée à une baisse de Rs très marquée en surface. Possibilité d'extension à l'est. S'enligne avec un faible axe PP plus à l'est.
PP-24	14+00W 8+37S	10+00W 7+37S	400	14+00W 8+37S	16 / 2,5	1k / uniforme	4,6 / 0,5	0,9	1	Forte hausse de CH dans une Rs faible. Possibilité d'extension à l'ouest. Faiblit beaucoup à l'est.
PP-25	8+00W 7+37S	0+00W 3+62S	800	0+00W 3+62S	9,2 / 5	20k / uniforme	0,6 / 0,5	0,2	3	Faible hausse de CH dans zone de très forte résistivité. Située près du contact de la forte zone magnétique. Horizon très faible et pas évident.
PP-26	14+00E 4+00N	24+00E 5+32N	1000	16+00E 3+62N	20 / 5	6,6k / > 14k ↓	2,3 / 0,5	0,6	2	Assez forte hausse de CH affichant une faible baisse de Rs dans un milieu à haute résistivité. Possibilité d'extension à l'ouest.
PP-27	16+00E 4+12N	24+00E 3+62N	800	18+00E 3+62W	28 / 5	11k / > 20k ↓	2,5 / 0,5	0,9	1	Forte hausse de CH dans une zone de très forte résistivité. Intègre souvent la réponse de PP-26.
PP-28	24+00E 2+25N	32+00E 3+50N	800	28+00E 2+87N	26 / 5	10k / > 35k ↓	2,4 / 0,5	0,8	2	Forte hausse de CH affichant une faible baisse de Rs en surface, dans un milieu à très forte résistivité. Pourrait constituer le prolongement de PP-5.
PP-29	34+00E 3+25N	38+00E 3+62N	400	36+00E 3+62N	15 / 3,5	19k / complexe	1 / 0,5	0,6	2	Forte hausse de CH dans une Rs complexe et élevée. Faible association Mag.
PP-30	28+00E 1+75N	34+00E 2+37N	600	28+00E 1+75N	20 / 5	24k / uniforme	1,2 / 0,3	0,5	2	Assez forte hausse de CH en milieu à très haute résistivité. Au contact du fort horizon Mag. Sur le prolongement de PP-5.

Description des anomalies de Polarisation Provoquée, Propriété Plex-David (suite)

N°	De (ligne) (station)	A (ligne) (station)	Lon- gueur (m)	Cible (ligne) (station)	CH (msec) / moy.	Rés. (E-m) / moy.	CN (mhosec) / moy.	Proba bilité	Prio- rité	Remarques
										<i>Ch = chargeabilité</i> <i>Rs = résistivité</i>
PP-31	26+00E 0+62N	30+00E 0+62N	400	28+00E 0+62N	13 / 5	39 / > 29k ↓	20 / 0,4	0,9	1	Hausse modérée de CH associée à une très forte baisse de résistivité indiquant la présence d'un fort conducteur. Localisée dans le très fort horizon Mag. Conducteur fortement magnétique et polarisable.
PP-32	26+00E 17+12N	32+00E 16+50N	600	30+00E 16+32N	18 / 5,5	12k / complexe	1,6 / 0,3	0,5	2	Hausse modérée de CH dans une zone de haute résistivité. Anomalie pas totalement couverte à cause des contacts difficiles à obtenir. Possibilité d'extension aux deux extrémités.
PP-33	20+00E 14+87N	22+00E 14+75N	200	20+00E 14+87N	4 / < 1 11, 3e	1,4k / uniforme	1,0 / 0,1	0,7	1	Bonne hausse de CH associée à une faible baisse de résistivité en surface, dans une Rs complexe. Association Mag sur L20E. Pas totalement couverte sur L22E à cause de mauvais contacts. Possibilité d'extension aux deux extrémités.
PP-34	38+00E 11+00N	38+00E 11+00N	-	38+00E 11+00N	8,8 / 2,5	11k / complexe	0,7 / 0,3	0,4	2	Bonne hausse de CH dans une Rs complexe. Pas totalement couverte à cause de mauvais contacts. Prêt d'une zone d'intérêt. Possibilité d'extension aux deux extrémités. Faible association Mag.
PP-35	24+00E 8+12N	30+00E 8+87N	600	26+00E 8+50N	7,1 / 2,5	4,1k/uniforme	1,0 / 0,3	0,5	2	Hausse modérée de CH dans une Rs uniforme. Correspond à un faible haut Mag. Pas totalement couverte sur L28E et 30 ^E à cause de mauvais contacts. Possibilité d'extension à l'est.
PP-36	22+00E 14+12N	22+00E 14+12N	-	22+00E 14+12N	18 / < 1	21k / complexe	1,2 / 0,1	0,7	2	Très forte hausse de CH dans une Rs complexe. Pas totalement couverte à cause de mauvais contacts. Possibilité d'extension à l'est.

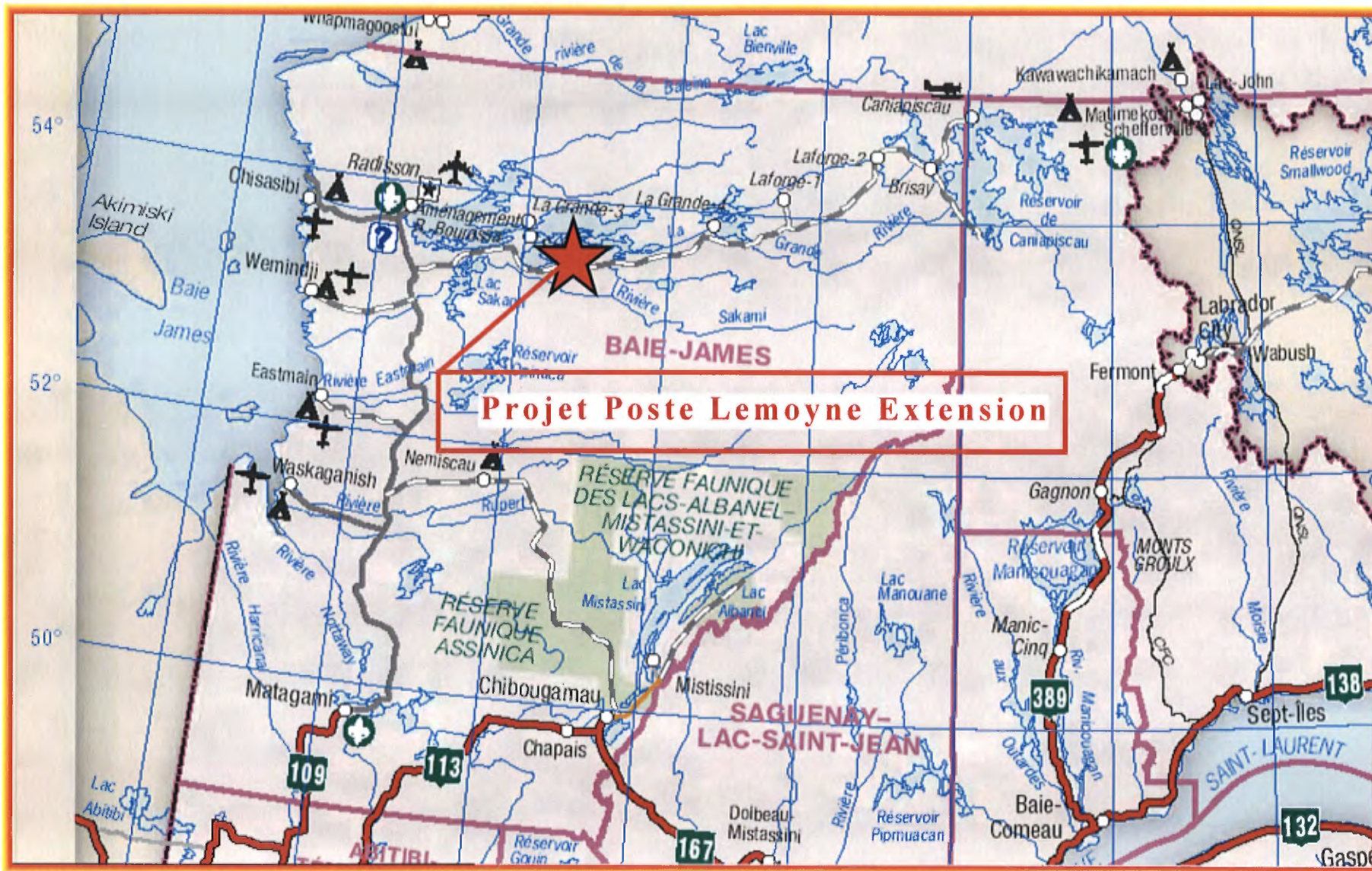
LISTE DES CARTES

Grille DAVID

N° de carte	Titre	Échelle
8942	Profils et valeurs du champ magnétique total	1 : 5 000
8943	Contours du champ magnétique total	1 : 5 000
8944	Profils et valeurs -polarisation provoquée	1 : 5 000
8945	Contours de résistivité	1 : 5 000
8946	Contours de chargeabilité	1 : 5 000
8947	Contours de chargeabilité normalisée	1 : 5 000

Grille OUEST

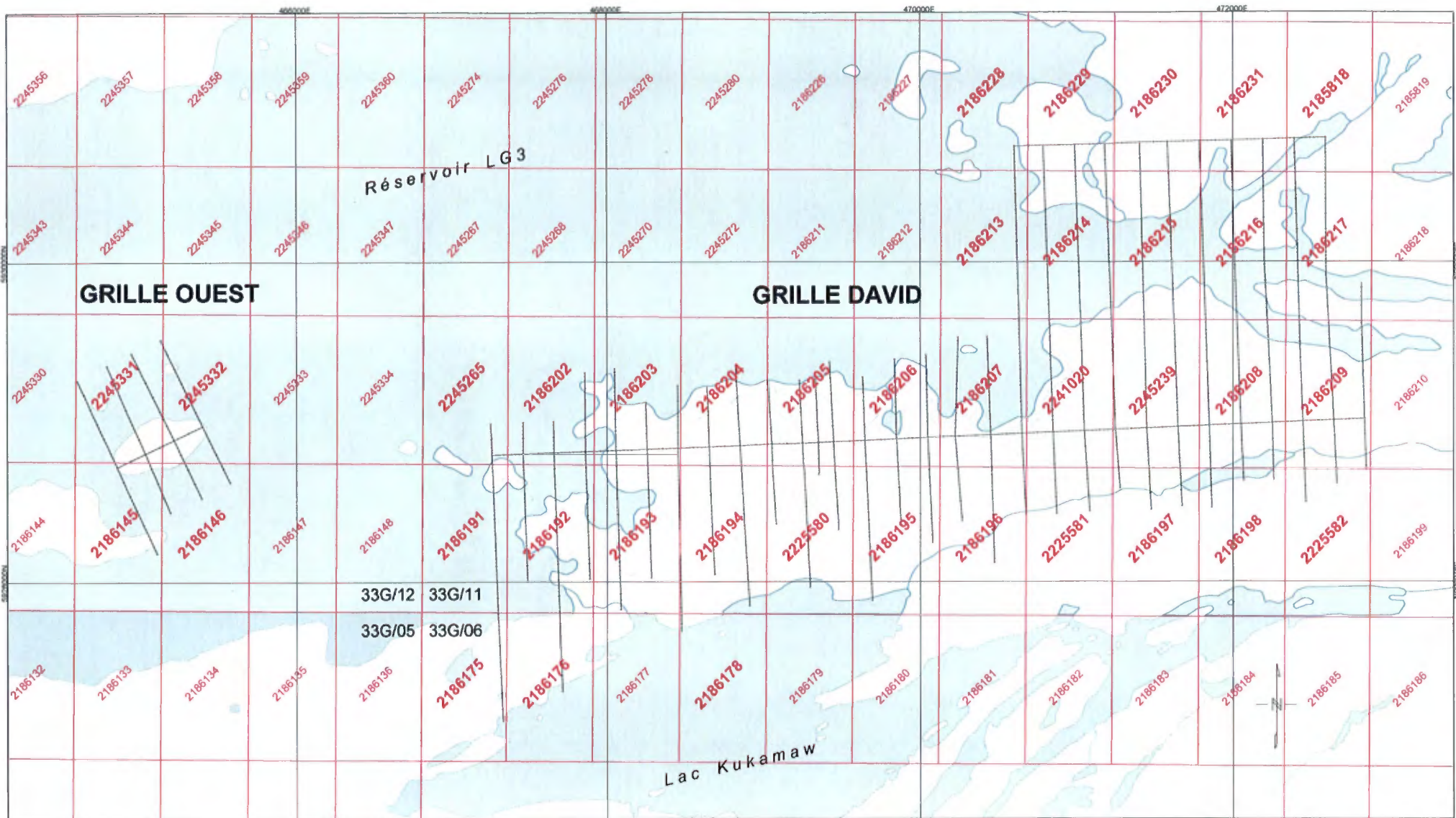
N° de carte	Titre	Échelle
8948	Profils et valeurs du champ magnétique total	1 : 5 000
8949	Contours du champ magnétique total	1 : 5 000
8950	Profils et valeurs -polarisation provoquée	1 : 5 000
8951	Contours de résistivité	1 : 5 000
8952	Contours de chargeabilité	1 : 5 000
8953	Contours de chargeabilité normalisée	1 : 5 000



CARTE DE LOCALISATION

**Projet Poste Lemoyne Extension, grilles OUEST et DAVID
33G/06, 33G/11 et 33G/12**

Source de la carte : MTQ



- Cartes de base numériques 33G/06, 33G/11 et 33G/12
 © Le ministère des Ressources naturelles Canada Tous droits réservés
 - Claims, MRNFQ
 Direction générale du développement minéral
<https://gestim.mines.gouv.qc.ca>
 Mise à jour de cette carte à partir des fichiers du site FTP deGestim,
 33G/06 Mise à jour 2010/07/29
 33G/11 Mise à jour 2010/07/28
 33G/12 Mise à jour 2011/05/06

PROJET POSTE LEMOYNE EXTENSION
GRILLES DAVID ET OUEST
CARTE DES TITRES MINIER

S.N.R.C. 33G/06, 33G/11 et 33G/12